

# بررسی نوزمین ساخت پهنه گسلی مشا- شمال تهران برپایه ویژگی‌های ریخت‌زمین‌ساختی، البرز مرکزی، شمال ایران

نوشین بقاء<sup>۱</sup>، منوچهر قرشی<sup>۲</sup>، مهران آرین<sup>۳</sup>، محسن پورکرمانی<sup>۴</sup> و علی سلکی<sup>۵</sup>

<sup>۱</sup> دکترا، گروه زمین‌شناسی، دانشگاه آزاد اسلامی، واحد علوم و تحقیقات، تهران، ایران

<sup>۲</sup> دانشیار، گروه زمین‌شناسی، دانشگاه آزاد اسلامی، واحد تهران شمال، تهران، ایران

<sup>۳</sup> دانشیار، گروه زمین‌شناسی، دانشگاه آزاد اسلامی، واحد علوم و تحقیقات، تهران، ایران

<sup>۴</sup> استاد، گروه زمین‌شناسی، دانشگاه آزاد اسلامی، واحد تهران شمال، تهران، ایران

<sup>۵</sup> استادیار، گروه زمین‌شناسی، دانشگاه آزاد اسلامی، واحد علوم و تحقیقات، تهران، ایران

تاریخ دریافت: ۱۳۹۱/۰۷/۳۰

تاریخ پذیرش: ۱۳۹۱/۰۳/۲۱

## چکیده

گسترش ساختاری تحت تأثیر فعالیت‌های زمین‌ساخت جنبا به دگرگشکلی عارضه‌های زمین‌ریختی می‌انجامد. پهنه گسلی مشا- شمال تهران در لبه جنوبی البرز مرکزی شامل ساختارهای زمین‌ساختی شاخصی است. در این راستا مطالعه بر روی نشانه‌های ریخت‌زمین‌ساختی، روش مناسبی در ارزیابی فعالیت‌های زمین‌ساخت نسبی ناحیه است. در این پژوهش ۶ شاخص ریخت‌سنگی مهم در نظر گرفته شده است که عبارتند از: شاخص طول - شب آبراهه (SL)، انگرال فراز سنگی (Hi)، عدم تقارن حوضه زهکشی (Af)، شکل حوضه زهکشی (Bs)، نسبت عرض کف دره به ارتفاع آن (V)، و پیچ و خون پیشانی کوه (Smf). محاسبه و ارزیابی این شاخص‌ها ۳ رده از فعالیت زمین‌ساخت نسبی ناحیه را از فعالیت کم تا زیاد مشخص می‌کند. بر این پایه، بیشتر حوضه‌های زهکشی که رده بالا از این فعالیت را نشان می‌دهند، با گسل‌های اصلی لبه جنوبی البرز مرکزی منطبق هستند.

**کلیدواژه‌ها:** فعالیت نسبی، شاخص‌های ریخت‌سنگی، زمین‌ریخت‌شناسی، حوضه زهکشی، بالآمدگی، گسل مشا.

E-mail: n\_bagha@yahoo.com

\*نویسنده مسئول: نوشین بقاء

## ۲- موقعیت زمین‌شناسی

رشته کوه البرز در شمال ایران تحت تأثیر همگرایی شمالی- جنوبی صفحه ایران مرکزی (واخر ترشییری) (Berberian, 1983) و حرکت حوضه خزر جنوبی به سوی شمال باخته (پلیوستون) (Ritz et al., 2006) گسترش یافته است. ناحیه مورد مطالعه بخشی از لبه جنوبی و بخش درونی دامنه البرز مرکزی را دربر می‌گیرد که در بردارنده گسل‌های مهمی چون گسل اصلی مشا، گسل شمال تهران و پایانه خاوری گسل طالقان است. این منطقه دارای نهشته‌های پر کامبرین تا کواترنری است که بیشتر جنوب ناحیه بهویژه در محدوده شهر تهران آبرفت‌های کواترنری و رسوبات هولوسن دیده می‌شود (شکل ۱). تغییرات مؤلفه‌های همگرایی بهویژه در طی پلیوستون- عهد حاضر (Allen et al., 2003) عامل ایجاد گوناگونی در روند و سازوکار حرکتی ساختارهای منطقه شده است، به گونه‌ای که فعالیت‌های زمین‌ساختی کواترنر در راستای گسل‌های شاخص در این منطقه بهویژه در امتداد گسل مشا به علت چرخش ساعت گرد حوضه خزر جنوبی (پلیوستون) بهصورت امتدادلغز چپ گرد مشخص شده است (Ritz et al., 2006) که فعالیت‌های لرزه‌ای اخیر هم آن را تأیید می‌کند (Jackson et al., 2002; Ashtari et al., 2005) مطالعات ژئودتیکی نشان می‌دهند که بیشتر حرکات امتدادلغز چپ گرد روی گسل اصلی دامنه جنوبی البرز مرکزی (گسل مشا) متوجه شده است (Vernant et al., 2004). به گونه‌ای که ۳۵ کیلومتر (گسل مشا) متوجه شده است (Allen et al., 2003) که مطالعات ۷ mm/yr در بیشتر از یک دوره (Allen et al., 2003) که مطالعات ساختاری، ریخت‌زمین‌ساختی و دیرینه‌لرزه‌شناسی بعدی روی بخش خاوری گسل مشا نرخ لغزش افقی Yr/۲/۲ mm را نشان می‌دهد. همچنین تحولات ساختاری در طی میوسن تا عهد حاضر عامل دگرگشکلی‌های فشاری در البرز مرکزی بهصورت چنین‌ها و گسل‌های رانده شده است (Guest et al., 2007) که رانگی رسوبات اتوسون روی آبرفت‌های عهد حاضر در امتداد گسل شمال تهران از جمله عارضه‌های ساختاری شاخص در لبه جنوبی البرز مرکزی و شمال شهر تهران است (شکل ۱). بنابراین حرکات کواترنری در ناحیه مورد مطالعه بهطور

کمرنده چین خورده- رانده البرز در شمال صفحه ایران مرکزی در یک راستای عمومی خاوری- باخته امتداد یافته است. الگوی ساختاری چیره این رشتہ کوه از نوع گسل‌های رانده (Alavi, 1991) و چن‌های ملایم و نامهانگ است. پژوهش‌های لرزه‌زمین‌ساختی موجود در گستره البرز نشانگر فعالیت زمین‌ساخت بالا در این پهنه گسلی است (Berberian & Yeats, 2001). زمین‌ریخت‌شناسی ابزاری مفید در بررسی زمین‌ساخت پویا در هولوسن و واخر پلیوستون است (Keller & Pinter, 2002). بررسی شاخص‌های ریخت‌سنگی بسیار از عوارض ریخت‌زمین‌ساختی امکان مقایسه نسبی از فعالیت‌های زمین‌ساختی ناحیه را فراهم می‌کند (Keller & Pinter, 1996; Burbank & Anderson, 2001). محاسبه این شاخص‌ها و تعیین یک شاخص پایانی (Iat) از آنها بدین‌دست از فعالیت‌های زمین‌ساخت نسبی را نشان می‌دهد (El Hamdouni et al., 2008). این مطالعات در گذشته در نواحی بسیاری از دنیا همچون: جنوب باخته آمریکا (Rockwell et al., 1985)، ساحل اقیانوس آرام در کاستاریکا (Wells et al., 1988)، ساحل مدیترانه در اسپانیا (Silva, 1994) باخته سریا نوادا در اسپانیا (El Hamdouni et al., 2008) انجام شده است. در این پژوهش شاخص‌های ریخت‌سنگی بسیاری مورد ارزیابی قرار گرفته و با تعیین یک شاخص (Iat) از محاسبات، زمین‌ساخت نسبی ناحیه بررسی شده است. لازم به یاد آوری است که هر چند در گذشته شاخص‌های زمین‌ریختی به عنوان یک ابزار در ارزیابی فعالیت‌های زمین‌ساخت فعل در پهنه‌های مختلف ایران زمین استفاده شده است، ولی در این مطالعه ضمن محاسبه دقیق و بررسی چندین شاخص ریخت‌سنگی (شناخت) که نشان دهنده اصلی تغییرات مربوط به ریخت سطح زمین بهویژه کanal رودها و حوضه‌های زهکشی هستند و تعیین یک شاخص پایانی برای روش El Hamdouni et al. (2008) روی مدل ارتفاعی رقومی (Dem) تهیه شده از نقشه‌های رقومی ۱:۲۵۰۰۰ در GIS، به تحلیلی نوین برای رابطه میان این شاخص‌ها و چگونگی وضعیت جنبشی ساختارهای زمین‌ساختی با توجه به ماهیت شاخص‌های ریخت‌سنگی در ناحیه مورد مطالعه پرداخته می‌شود.

می‌شود که پراکندگی نواحی با میزان متوسط و بالای (شکل ۴) این شاخص به جز محدوده‌های همراه با مقاومت سنگ بالا (شکل‌های ۳، ۴ و ۵) به طور چیره نیجه‌ای از فرایندهای زمین‌ساختی کواترنر بوده است (شکل ۴). بهویژه بررسی در راستای آبراهه‌های منطبق با سامانه گسلی شمال تهران و گسل‌های کواترنر شمال تهران که در بسترهای با مقاومت سنگی پایین و متوسط جاری هستند، رده‌های ۱ و ۲ از شاخص طول-شیب آبراهه (SL) را نشان می‌دهد (شکل ۴).

### ۲-۳ انتگرال فراز سنجی (Hi)

انتگرال فراز سنجی بیانگر چگونگی پراکندگی ارتفاع در یک حوضه زهکشی است (Strahler, 1952) و این میزان از فرمول ساده زیر محاسبه می‌شود

$$Hi = \frac{\text{average elevation} - \text{minimum elevation}}{(\text{maximum elevation} - \text{minimum elevation})} \quad (2)$$

همچنین مساحت زیر نمودار منحنی فراز سنجی معرف دقيقتری از این شاخص است (Strahler, 1952; Keller & Pinter, 2000). در اینجا با رسم منحنی از روی مدل ارتفاعی رقومی و محاسبه مساحت زیر آن، این شاخص بررسی شد. مقادیر بالای انتگرال فراز سنجی نشان می‌دهد که بیشتر توپوگرافی منطقه نسبت به ارتفاع میانگین بلندتر است که نشانگر نواحی جوان و فعال زمین‌ساختی است (Keller & Pinter, 2002; Bull, 2007). حوضه‌هایی واقع در پیشانی کوهستانی جلویی (Frontal Mountain Front) (Bull, 2007) بیشتر رده ۱ از انتگرال فراز سنجی را نشان می‌دهند (شکل‌های ۶ و ۷ و جدول ۲). همچنین حوضه کلک نشان‌دهنده بالاترین میزان از این شاخص است (شکل‌های ۶ و ۷ و جدول ۲).

### ۳-۳ عدم تقارن حوضه زهکشی (Af)

تغییر شکل‌های مربوط به فرایندهای زمین‌ساختی، عامل ایجاد تغییراتی در الگو و هندسه شبکه زهکشی یک حوضه آبریز می‌شود؛ به گونه‌ای که در مناطق آرام زمین‌ساختی با در نظر گرفتن عامل‌های تأثیرگذار، ترکیب سنگ‌شناختی بیشتر دارای هندسه و الگوی متقاضی است، ولی حضور دگرگشکل‌های مرتبط با فرایندهای زمین‌ساختی، این الگوی متقاضی اولیه را تغییر می‌دهد و سبب کج شدگی در حوضه می‌شود (Hare & Gardner, 1985; Keller & Pinter, 2002). عامل عدم تقارن توسط فرمول زیر محاسبه می‌شود:

$$Af = 100 (A_r A_i) \quad (3)$$

$A_r$  مساحت سمت راست زیر حوضه (نگاه به سوی پایین آبراهه) و  $A_i$  مساحت کل زیر حوضه است. پراکندگی میزان Af متوسط و بالا در ناحیه مرتبط با گسل‌های اصلی ناحیه (گسل مشا، گسل طالقان و گسل شمال تهران) دیده شده است که نشان از تأثیر مؤلفه حرکتی این گسل‌ها بر عدم تقارن حوضه‌های زهکشی دارد (جدول ۲).

### ۴-۴ شکل حوضه (Bs)

این شاخص به وسیله رابطه زیر بیان شده است (Cannon, 1976; Ramirez-Herrera, 1998):

$$Bs = B_l / B_w \quad (4)$$

در این رابطه  $B_l$  طول حوضه، فاصله پایین ترین ارتفاع حوضه تا دورترین نقطه از آن و  $B_w$  عرض حوضه، که در عریض ترین بخش بخش از آن اندازه گیری می‌شود، است. میزان بالای این شاخص بیانگر حوضه‌های کشیده است که بیشتر در نواحی جوان تر حوضه و بیشتر مرتبط با پیشانی‌های کوهستانی جلویی (Frontal Mountain Fronts) (Bull, 2007). به علت بالاًمدگی سریع مرتبط با این ساختارها دیده می‌شود (Bull, 2007). حوضه در که در لبه جنوبی البرز مرکزی نمایانگر میزان بالای این شاخص است (جدول ۲).

### ۵-۵ نسبت عرض کف دره به ارتفاع آن (Vf)

این نسبت نشان‌دهنده رابطه‌ای میان میزان فعالیت زمین‌ساختی در منطقه و تشکیل دره‌های است که به صورت زیر تعریف شده است:

عمده به صورت وارون و راندگی با مؤلفه امتدادلغز در شمال ناحیه تهران (گسل شمال تهران، لبه جنوبی البرز مرکزی) (Nazari et al., 2007; Nazari & Ritz, 2008) و بخش باختری گسل مشا در جنوب پیانه خاوری پنهان گسلی طالقان (Guest et al., 2006a) و جابه‌جایی‌های امتدادلغز چپ‌گرد در بخش خاوری گسل مشا (با مؤلفه کوچک عادی) (Solaymani, 2003) وجود دارد.

## ۳- ارزیابی‌های شاخص‌های ریخت‌سنگی

در گذشته این مطالعه روی پیشانی‌های کوهستانی و تنها با استفاده از ۲ شاخص ریخت‌سنگی انجام می‌شده است (Smf, v) (Bull & Macfadden, 1977; Rockwell et al., 1985; Azor et al., 2002) (Molin et al., 2004).

در این پژوهش همه شاخص‌های مرتبط به تغییرات کاتال رود و حوضه‌های آبریز بررسی شده و با استفاده از یک شاخص منفرد (Iat) که نتیجه محاسبات مربوط به ۶ شاخص ریخت‌سنگی است به ارزیابی فعالیت زمین‌ساخت نسبی ناحیه پرداخته شده است (El Hamdouni et al., 2008). از آنجایی که مطالعات در زمینه ریخت‌شناسی حوضه‌های آبریز و ویژگی‌های فیزیوگرافیک آبراهه‌های است بنابراین در ابتدا مدل ارتفاعی رقومی (Dem) ناحیه مورد مطالعه با استفاده از نقشه‌های توپوگرافی رقومی ۱:۲۵۰۰۰ در سامانه اطلاعات جغرافیایی ساخته شدند و سپس توسط نرم‌افزار Arc Hydro محدوده مورد مطالعه به ۳۳ زیر حوضه مناسب برای مطالعات ریخت‌زمین‌ساختی تقسیم شد (شکل ۲). چندین شاخص زمین‌ریختی برای هر زیر حوضه ناحیه محاسبه و بررسی و نتایج بدست آمده از هر شاخص به ۳ رده تقسیم شد که در پایان میانگین این رده‌ها به ۳ سطح فعالیت زمین‌ساختی رده‌بندی شده‌اند (El Hamdouni et al., 2008) (جدول ۱).

### ۳-۱ شاخص طول-شیب آبراهه (SL)

تغییرات در شیب کاتال رود که عامل ایجاد تغییر آب است متأثر از جنس سنگ‌ها و فعالیت‌های زمین‌ساختی است (Keller & Pinter, 2002). شاخص SL نمایانگر موازنی میان فرایندهای رودخانه‌ای و جوشش‌های زمین‌ساختی است (Hack, 1957, 1973, 1982) که به صورت زیر تعریف شده است (Hack, 1973):

$$SL = (Ah/Al)/L \quad (1)$$

در این رابطه L طول کاتال رود از بالادست تا نقطه‌ای که برای آن شاخص محاسبه می‌شود و  $Ah$  شیب بخشی از کاتال رود است. این شاخص متأثر از میزان بالاًمدگی در یک ناحیه است. بنابراین مؤلفه‌های حرکتی با جابه‌جایی‌های افقی همانند گسل‌های امتدادلغز تأثیر چندانی در این شاخص ندارند. این شاخص در راستای آبراهه‌های هر زیر حوضه با استفاده از مدل ارتفاعی رقومی در سامانه اطلاعات جغرافیایی محاسبه شد و نتایج حاصل از بررسی ۴۰۰۰ محل در امتداد آبراهه‌های ناحیه به ۳ رده تقسیم شدند. رده ۱: میزان بالا؛ رده ۲: میزان متوسط؛ رده ۳: میزان پایین (El Hamdouni et al., 2008). بالاترین میزان شاخص SL منطبق با ناوایس آرانگه و زیر حوضه آرانگه است (شکل‌های ۳ و ۴ و جدول ۲).

با توجه به تأثیر مقاومت سنگ بر میزان بالای این شاخص، سنگ‌های موجود در منطقه مورد مطالعه بر پایه میزان مقاومت به گروه‌هایی با مقاومت کم (آبرفت، کنگلومرات پلیو-کواترنر)، مقاومت متوسط (شیل، گل‌سنگ، توف)، مقاومت بالا (دولومیت، ماسه‌سنگ، کنگلومرات اثوسن) و مقاومت خیلی بالا (آندرزیت، گابرو، بازالت، سینیت، موژونیت، دیاباز، تراکی آندزیت) رده‌بندی شده‌اند (معماریان، ۱۳۸۰). با مقایسه نقشه مقاومت سنگ (شکل ۵) و پراکندگی رده‌های شاخص SL دیده

از فعالیت زمین ساخت نسبی را نشان می دهند (جدول ۲). محاسبات و بررسی های انجام شده در این مطالعه وجود پیشانی کوهستانی مستقیم ( $\text{Smf} < 1.1$ ) (جدول ۲)، حوضه هایی با کشیدگی زیاد و انگرال هیپوسومتری بالا را در راستای گسل شمال تهران مشخص می کنند (شکل های ۵ و جدول ۲).

مطالعات دیرینه لرزه شناسی پرتگاه گسلی  $m^{-3}$  را در بخش مرکزی گسل شمال تهران که نهشته های پلیستون بالایی - هولومن را متاثر کرده است نشان می دهند (Nazari et al., 2007). حوضه آسرا در شمال باخترا ناحیه شامل تنوعی از سازندگان مزوژویک است که به سیله نهشته های اثوسن کرج پوشیده شده اند. این حوضه با پایانه خاوری گسل طلاقان منطبق است که رده بالایی از فعالیت ( $I_{at}=1$ ) را در ناحیه مورد مطالعه مشخص می کند (جدول ۲).

وجود دره های باریک با شبیه زیاد با میزان  $Vf$  پایین (شکل ۷ و جدول ۲) و پرتگاه های شاخص جوان که گسیختگی سطحی اخیر (پلیوسن - هولومن) در طول آن دیده می شود (Ritz et al., 2006) نشان دهنده فعالیت زمین ساخت بالا در پهنه گسلی طلاقان است (جدول های ۲ و ۳) (Khavari et al., 2010). بیشتر حوضه های با رده بالای فعالیت زمین ساخت نسبی ( $I_{at}=1$ ) در راستای گسل شمال تهران دیده شده اند که نشان دهنده عملکرد رژیم جنبشی ترافشاری و گسل هایی با مؤلفه حرکتی راندگی در این بخش از لبه جنوبی البرز مرکزی است (Ritz et al., 2006a; Guest et al., 2006a) (Guest et al., 2006a). در بررسی مقاطع عرضی زمین شناسی در شمال تهران، وجود تغییرات در سمتراز نهشته های هولومن از خاور به باخترا این محدوده و مشاهده جایه جایی آبرفت های عهد حاضر از روی تصاویر هوایی و SRTM تحت تأثیر ساختارهای منطقه همانند گسل های کواترنر (گسل نیاوران، گسل حصار که، گسل لویزان و طرشت) نشان دهنده فعالیت زمین ساختی اخیر این منطقه است که نقش مهمی را در بالا آمدگی منطقه دارد (گسل لویزان و طرشت) (Abbassi & Farbod, 2009). همچنین نقشه مغناطیس هوایی تهران (GSI, 1977) یک خط واره پی سنگی شمال خاوری - جنوب باخترا را در محدوده شمال باخترا تهران نشان داده است که می تواند در جهت گیری آبراهه های منطقه، شکل حوضه های آبریز و تغییرات نشانه های زمین ریخت شناسی تأثیر گذار بوده باشد.

#### ۴-۲. پهنه با فعالیت زمین ساختی متوسط ( $I_{at}=2$ )

در حالی که بیشتر حوضه های موجود در شمال تهران رده های بالای از فعالیت را نشان می دهند، بررسی های مرتبط با حوضه های سازگار با سامانه گسلی مشا و بخش درونی دامنه بیشتر رده متوسطی از فعالیت را مشخص می کنند (جدول ۲ و شکل ۲). مطالعات لرزه خیزی (Ashtari et al., 2005) و ژئودتیکی (Vernant et al., 2004) و بررسی های ساختاری و زمین ریخت شناسی (Hamdouni et al., 2011) در این بخش از فعالیت را نشان می دهند، بررسی های مرتبط با حوضه های سازگار با سامانه گسلی مشا و بخش درونی دامنه بیشتر رده متوسطی از فعالیت را مشخص می کنند (جدول ۲ و شکل ۲). مطالعات لرزه خیزی (Ashtari et al., 2005) و ژئودتیکی (Vernant et al., 2004) و بررسی های ساختاری و زمین ریخت شناسی (Hamdouni et al., 2011) در این بخش از فعالیت را نشان می دهند (Nazari & Ritz, 2008) همگی گویای مؤلفه حرکتی امتداد غز چپ بر با مؤلفه کوچک عادی بهویژه در بخش خاوری گسل مشا و محدوده درونی البرز مرکزی است (Ritz et al., 2006) (Ritz et al., 2006). بنابراین با توجه به نوع سازوکار حرکتی کتونی و کاهش نرخ بالا آمدگی در این محدوده شاخص های ریخت سنجی که بیشتر وابسته به میزان نواحی با عملکرد گسل وارون و راندگی نشان می دهند (Bull, 2007). بنابراین بررسی این محاسبات تأییدی از مؤلفه حرکتی اخیر در راستای این گسل بنیادی البرز مرکزی است.

#### ۴-۳. پهنه با فعالیت زمین ساختی نسبی پایین ( $I_{at}=3$ )

با توجه به موقعیت زمین ساختی محدوده مورد مطالعه که بخش مهمی از البرز مرکزی را در بر می گیرد، بیشتر حوضه ها، فعالیت زمین ساختی نسبی بالا تا متوسطی را نشان می دهند (جدول ۲). ارزیابی حوضه های جنوب خاوری ناحیه به طور نسبی نشان دهنده نرخ پایین تری از میزان بالا آمدگی و فعالیت زمین ساختی نسبی آن هستند. این حوضه ها که در بخش خاوری و جنوب خاوری شهر تهران جای دارند دارای توپوگرافی یکنواختی در ناحیه هستند (شکل ۲ و جدول ۲).

$$Vf = 2 Vf_w / (A_{ld} + A_{rd} - 2A_{sc}) \quad (5)$$

در این معادله  $Vf_w$  عرض کف دره و  $A_{sc}$ ,  $A_{ld}$ ,  $A_{rd}$  به ترتیب ارتفاع سمت چپ و راست دره در محل اندازه گیری (نگاه به سوی پایین دره) و ارتفاع کف دره هستند. دره های ۷ شکل و باریک مرتبط با پیشانی های کوهستانی فعال دیده می شوند و نشان دهنده بالا آمدگی سریع و برش بستر رود در امتداد مسیر آن هستند. با کاهش فعالیت زمین ساختی عوامل فرسایشی موجب افزایش پهنه ای کف دره و تشکیل دره هایی U شکل می شوند (Keller & Piter, 2002). در این مطالعه دره هایی در راستای عمود بر پیشانی های اصلی در فاصله  $0/5$  تا  $1$  کیلومتر بالاتر از پیشانی گسل (Siva et al., 2003; Bull, 2007) بسته به اندازه حوضه و موقعیت آن از روی مدل ارتفاع رقومی در نظر گرفته شده اند (شکل ۸). میزان پایین شاخص  $Vf$  نشان دهنده سطح بالا آمدگی بیشتر است (Keller & Pinter, 2002). محاسبات نشانگر نتایج پایین تر این شاخص در شمال ناحیه مورد مطالعه در حوضه های میگون و آسرا است (شکل ۸ مقطع A و G و جدول ۲).

#### ۴-۳. شاخص پیچ و خم پیشانی کوهستان (Smf)

یکی از شاخص های مهم در ارزیابی و مقایسه سطح فعالیت زمین ساختی در یک ناحیه طبق رابطه زیر تعریف شده است (Bull & Macfaden, 1977; Bull, 2007):

$$\text{Smf} = L_{mf}/L_s \quad (6)$$

در آن  $L_{mf}$  طول پیشانی کوه در دامنه آن یعنی جایی که شبیه میان کوه و حوضه پیشانی تغییر می کند و  $L_s$  طول مستقیم پیشانی کوه است. این رابطه تعادل میان نیروهای فرسایشی متمایل به تولید پیشانی های سینوسی و نیروهای زمین ساختی متمایل به ایجاد یک پیشانی مستقیم همراه با یک گسل فعال را نشان می دهد (Bull & Mcffaden, 1977; Keller, 1986) (Bull, 2007) از (1) بیانگر برخاستگی سریع پیشانی های کوهستانی است که در حالی که در محدوده هایی با کاهش میزان نرخ بالا آمدگی به تولید خلیج در راستای پیشانی کوهستانی می انجامد. در منطقه مورد مطالعه ۱۶ پیشانی گسلی از روی نقشه های توپوگرافی  $1:25000$  در سامانه اطلاعاتی جغرافیایی موراد ارزیابی قرار گرفته است (شکل ۹). نتایج نشان دهنده  $3$  رده پیشانی کوهستانی در محدوده است که عبارتند از رده  $1$  ( $\text{Smf} < 1.1$ ), رده  $2$  ( $1.1 \leq \text{Smf} < 1.5$ ) و رده  $3$  ( $\text{Smf} \geq 1.5$ ) (El Hamdouni et al., 2008) (El Hamdouni et al., 2008) (El Hamdouni et al., 2008) سولقان، وردیچ، دربند، زردبند، درکه، فرخزاد، باغ اناری و قطعه مرکزی گسل شمال تهران منطبق است (جدول ۲ و شکل ۲).

#### ۴-۴. بحث

۶ شاخص ریخت سنجی اصلی محاسبه شده در این مطالعه هر کدام به  $3$  رده تقسیم شده اند (El Hamdouni et al., 2008) (El Hamdouni et al., 2008) با میانگین گیری از مجموع رده های مربوط به هر شاخص (S/n) یک رده پایانی به هر زیر حوضه نسبت داده شده است ( $I_{at}$ ) که نشان دهنده سطح فعالیت زمین ساختی نسبی است (El Hamdouni et al., 2008).

با توجه به محاسبات انجام شده در این بررسی و تقسیم بندی سطح فعالیت زمین ساخت نسبی (El Hamdouni et al., 2008) (El Hamdouni et al., 2008) رده  $1$  نشان دهنده پهنه هایی با در ناحیه مورد مطالعه مشخص شده است (جدول ۲). رده  $1$  نشان دهنده پهنه هایی با میزان فعالیت زمین ساخت نسبی بالا در ناحیه و رده  $3$  نمایانگر پایین ترین سطح از این فعالیت است. این رده ها در واقع الگویی از نرخ های مختلف بالا آمدگی کواترنر را در یک ناحیه نشان می دهند (Bull, 2007).

#### ۴-۱. پهنه با فعالیت زمین ساختی بالا ( $I_{at}=1$ )

بر پایه جدول ۲ بیشتر حوضه های واقع در لبه جنوبی البرز مرکزی که منطبق با گسل های اصلی چون گسل مرز میان کوه و دشت شمال تهران هستند، رده های بالایی

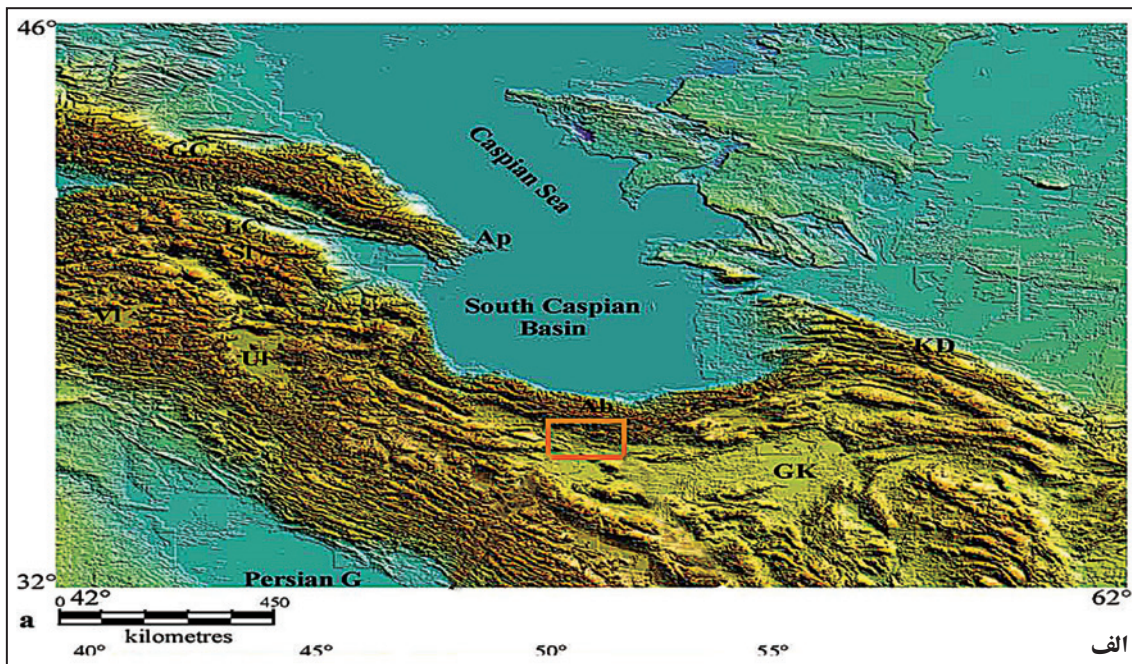
قطعاتی از پهنه‌های گسلی با پتانسیل خطر نقش مهمی داشته باشد (Bull, 2007)، بنابراین همان گونه که در برخی مطالعات هم اشاره شده است (Nazari et al., 2011) ضمن فعالیت بالای سیستم گسلی لرزه‌زای مشا خاوری و مرکزی، سامانه گسلی شمال تهران در جنوبی‌ترین لبه البرز مرکزی با توجه به شواهد ریخت‌زمین‌ساختی، Ritz et al., 2003 & 2006; Nazari & Ritz, 2008; (Guest et al., 2006a,b & 2007; Solaymani et al., 2011 Nazari et al., 2008; Guest et al., 2006a,b & 2007; Solaymani et al., 2011) و سطح فعالیت زمین‌ساختی نسبی اخیر بر پایه تحلیل‌های ریخت‌سنگی با توجه به کمبود لرزه‌ای در راستای آن، می‌تواند گسلی (بهویژه قطعه مرکزی آن) با پتانسیل خطر در آینده باشد.

## ۵- نتیجه‌گیری

مطالعات ریخت‌سنگی امکان مقایسه نسبی از فعالیت زمین‌ساخت اخیر را بر پایه نرخ‌های بالاً‌مدگّی متفاوت تحت تأثیر توزیع دگریختی و عملکرد مؤلفه‌های حرکتی در امتداد ساختارها فراهم می‌کند. در این بررسی ۶ شاخص مهم ریخت‌سنگی: شاخص طول - شبی‌آبراهه (SL)، انگشتگال فراز‌سنگی (Hi)، شکل (Hs)، عدم تقارن حوضه زهکشی (Af)، نسبت عرض کف حوضه زهکشی (Bs)، عدم تقارن حوضه زهکشی (V<sub>i</sub>) و پیچ و خم پیشانی کوه (Smf)، مورد محاسبه و ارزیابی قرار گرفته‌اند. مطالعه روی عوارض ریخت‌زمین‌ساختی، محاسبات شاخص‌های ریخت‌سنگی و رده‌های فعالیت زمین‌ساختی با همواری خوبی با ساختارهای شاخص ناحیه دارند. بررسی‌ها ۳ رده از فعالیت زمین‌ساخت نسبی را در ناحیه مورد مطالعه نشان می‌دهند. این رده‌های زمین‌ساختی با نوع سازو کار جنبشی ساختارها و دگر‌شکلی اخیر در ناحیه منطبق هستند. چنان که بیشتر حوضه‌های واقع در بخش شمال تهران از لبه جنوبی البرز مرکزی میزان بالایی از فعالیت زمین‌ساخت نسبی را نشان می‌دهند.

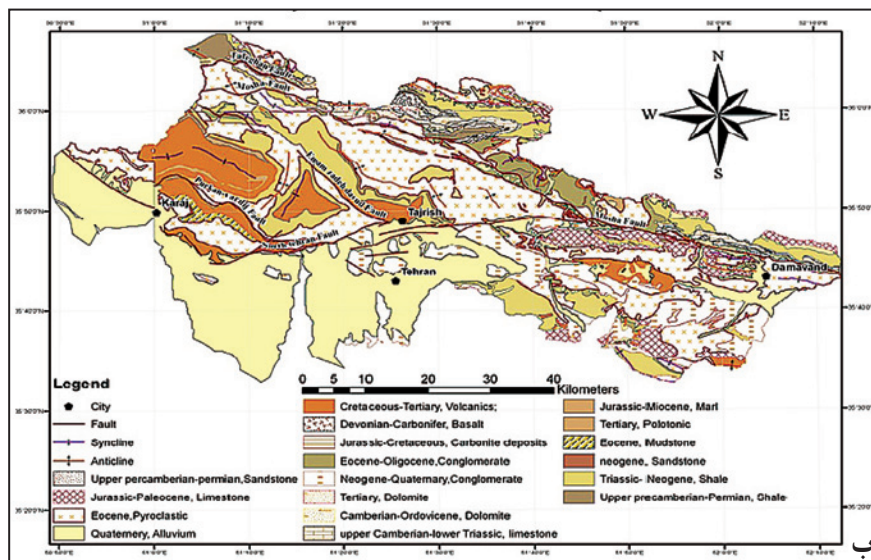
مطالعه روی شواهد حرکتی و بررسی جنبش‌های اخیر در امتداد گسل‌های شاخص محدوده (جدول ۳) نشان می‌دهد که این گسل‌ها در طی هولوسن فعال بوده‌اند. همچنین تفاوت در سازوکار حرکتی و میزان نرخ‌های لغزش (Ritz et al., 2003 & 2006; Nazari & Ritz, 2008; Nazari et al., 2008) (مرتبه با این گسل‌ها تنوعی از دگریختی را در ناحیه به وجود آورده است. به گونه‌ای که در جدول ۳ دیده می‌شود مؤلفه غالب حرکتی گسل مشا خاوری و مرکزی به صورت امتدادلغز چپ گرد است که بیشترین جایه‌جایی و نرخ‌های لغزش افقی را هم نشان می‌دهد (Ritz et al., 2006). مطالعات متعدد در راستای گسل شمال تهران اشاره به مؤلفه حرکتی غالب وارون دارد (Nazari & Ritz, 2008; Guest et al., 2006a; Ritz et al., 2012). هر چند که اطلاعات کمی زیادی در مورد نرخ‌های لغزش و جایه‌جایی در کل امتداد گسل شمال تهران موجود نیست و پژوهش‌های پیشین هم اشاره به نرخ کلی به طور نسبی پایین برای آن دارد (جدول ۳)، ولی بررسی‌های ساختاری و سن‌سنگی (Guest et al., 2006a,b & 2007) نشان می‌دهد لبه جنوبی البرز مرکزی (Hi) شکلی ترا فشاری در میزان رخداد دگر‌شکلی ترا فشاری بوده است (Guest et al., 2006a, 2007; Ritz et al., 2006). ضمن این که به علت حرکت حوضه خزر جنوبی به سوی باخت (Ritz et al., 2006) (پلیستوسن) جنبش‌های اخیر در منطقه به صورت حرکات امتدادلغز در راستای گسل‌های شاخص همچون گسل مشا خاوری و مرکزی و دگر‌شکلی ترا فشاری در لبه جنوبی البرز مرکزی (منطبق با سیستم گسلی همچون گسل شمال تهران) متumerکز شده است. چنان که در برخی از مطالعات لبه جنوبی البرز مرکزی را مترادف با یک دابلکس ترا فشاری در نظر گرفته‌اند که همراه با تراست‌شدگی، مرتفع شدگی و بالاً‌مدگّی است (Guest et al., 2006a).

از آن جایی که این رده‌های فعالیت زمین‌ساخت نسبی می‌توانند در ارزیابی

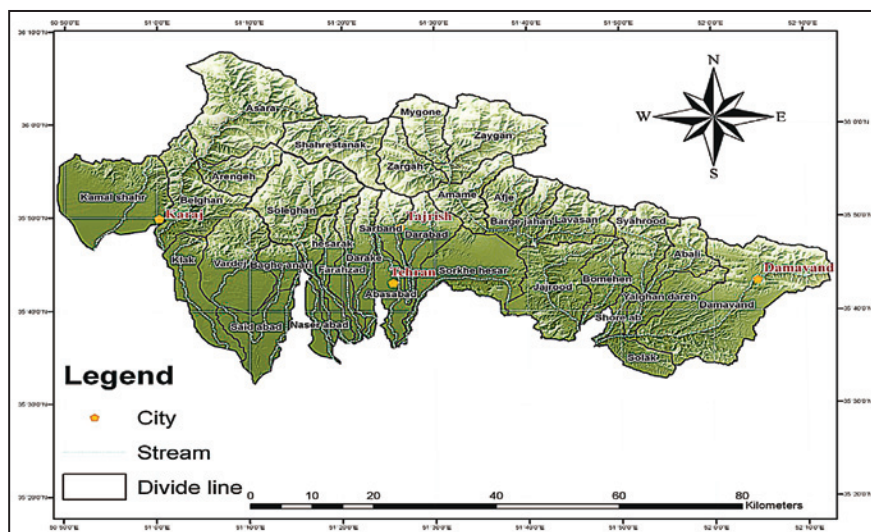


شکل ۱- موقعیت ناحیه مورد مطالعه در (الف) شمال خاور میانه (برگرفته از Brunet et al., 2003)

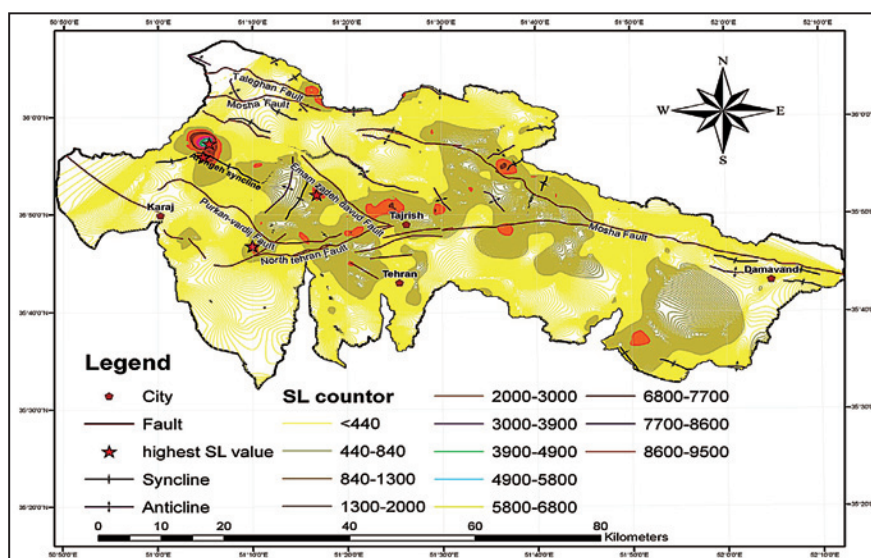
مربع قرمز: ناحیه مورد بررسی در شکل ب می‌باشد.



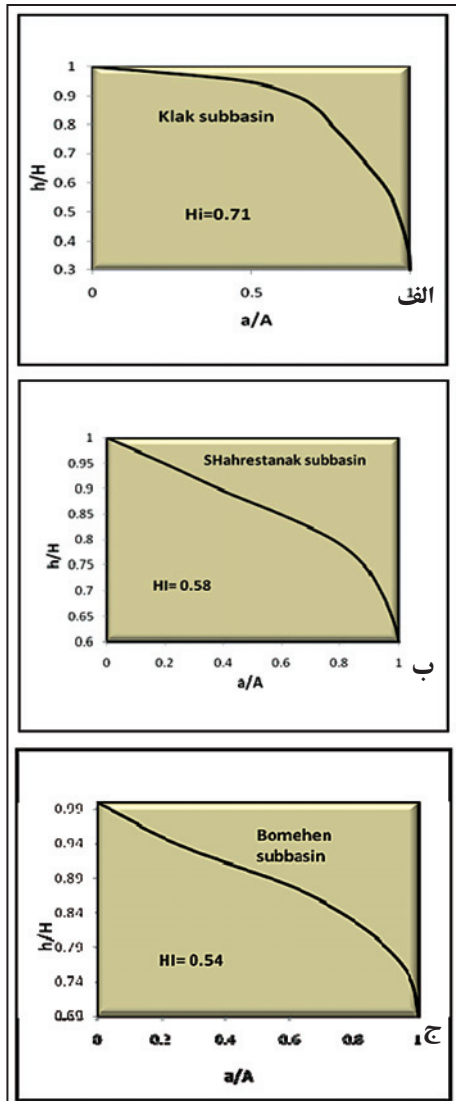
شکل ۱- موقعیت ناحیه مورد مطالعه در ب) نقشه زمین‌شناسی ناحیه مورد بررسی (حقی پور و وحدتی دانشمتد، ۱۳۹۵).



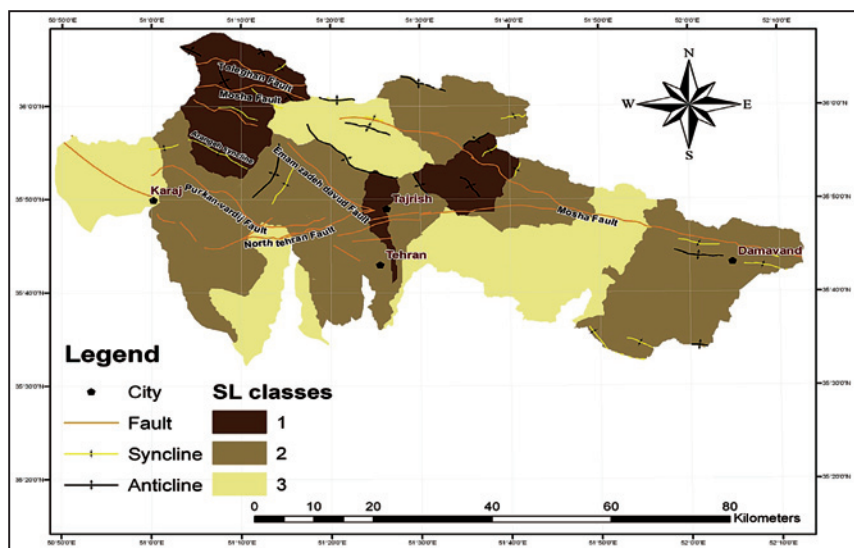
شکل ۲- ۳۳- زیرحوضه زهکشی استخراج شده در ناحیه مورد بررسی.



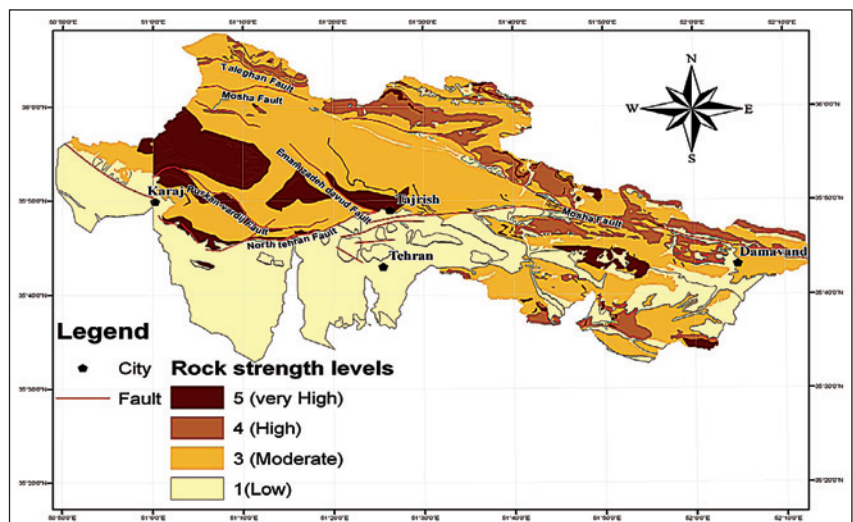
شکل ۳- منحنی میزان‌های شاخص طول- شب آبراهه (SL)



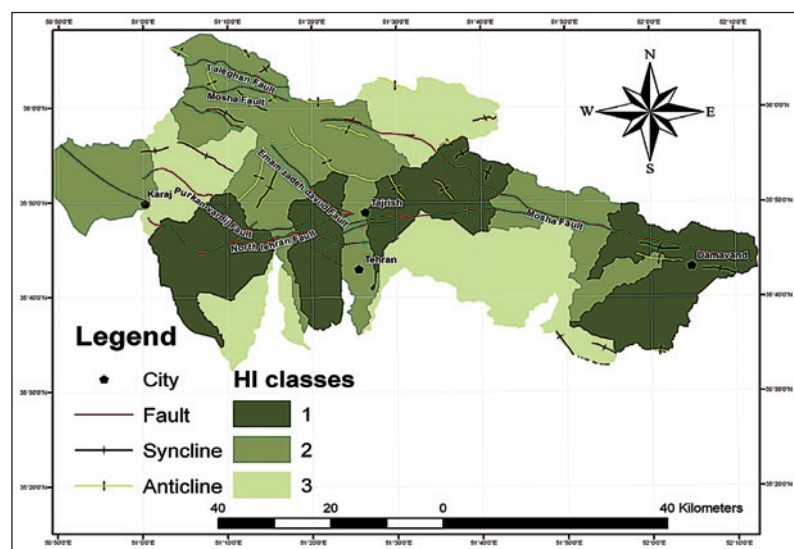
شکل ۷- نمودارهای انتگرال هیپسومتری ( $Hi$ ) ۳ حوضه زهکشی با میزان (الف) بالا، ب) متوسط و ج) پایین از این شاخص در ناحیه مورد مطالعه.



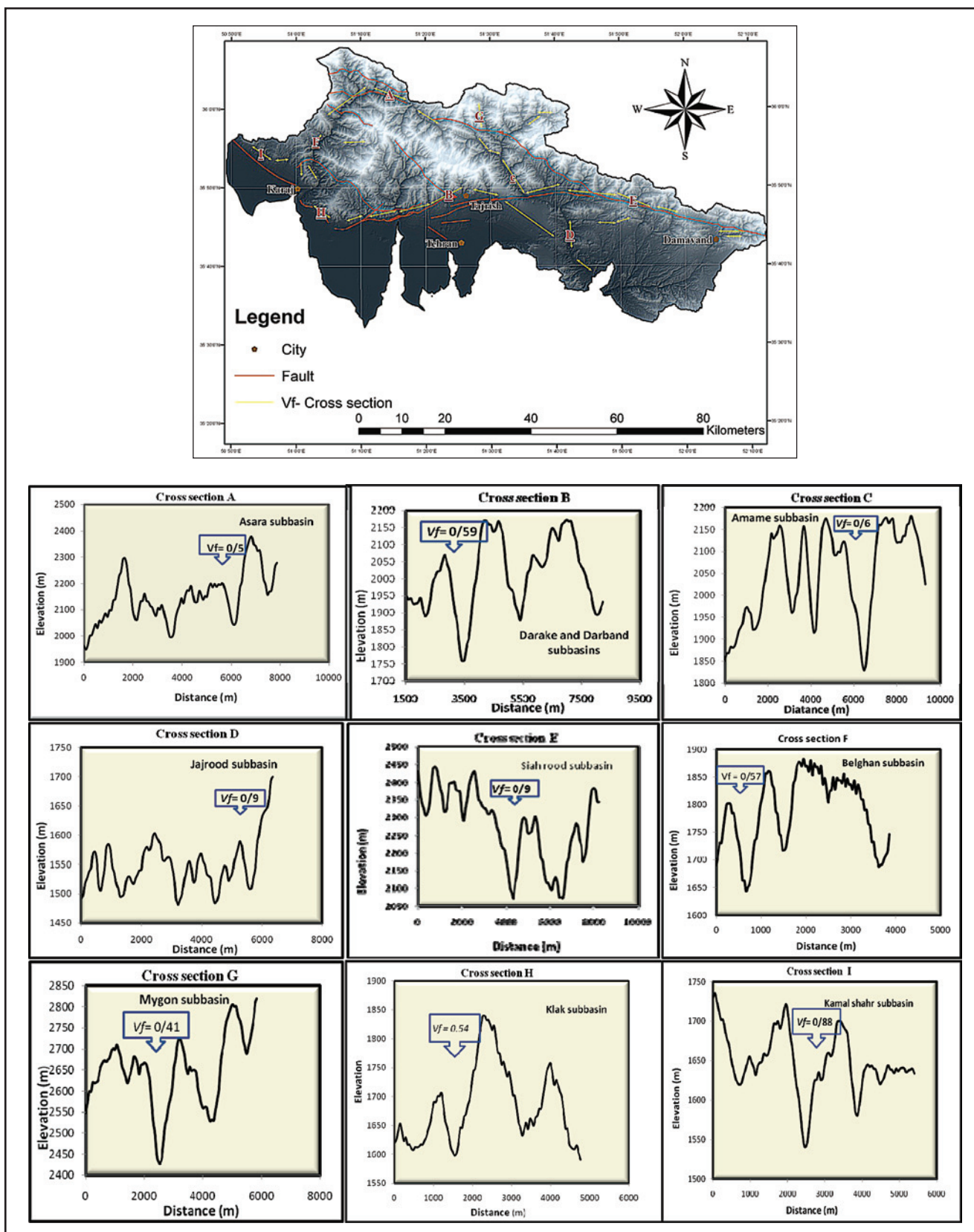
شکل ۴- پراکندگی رده های شاخص طول- شب آبراهه (SL) در ناحیه.



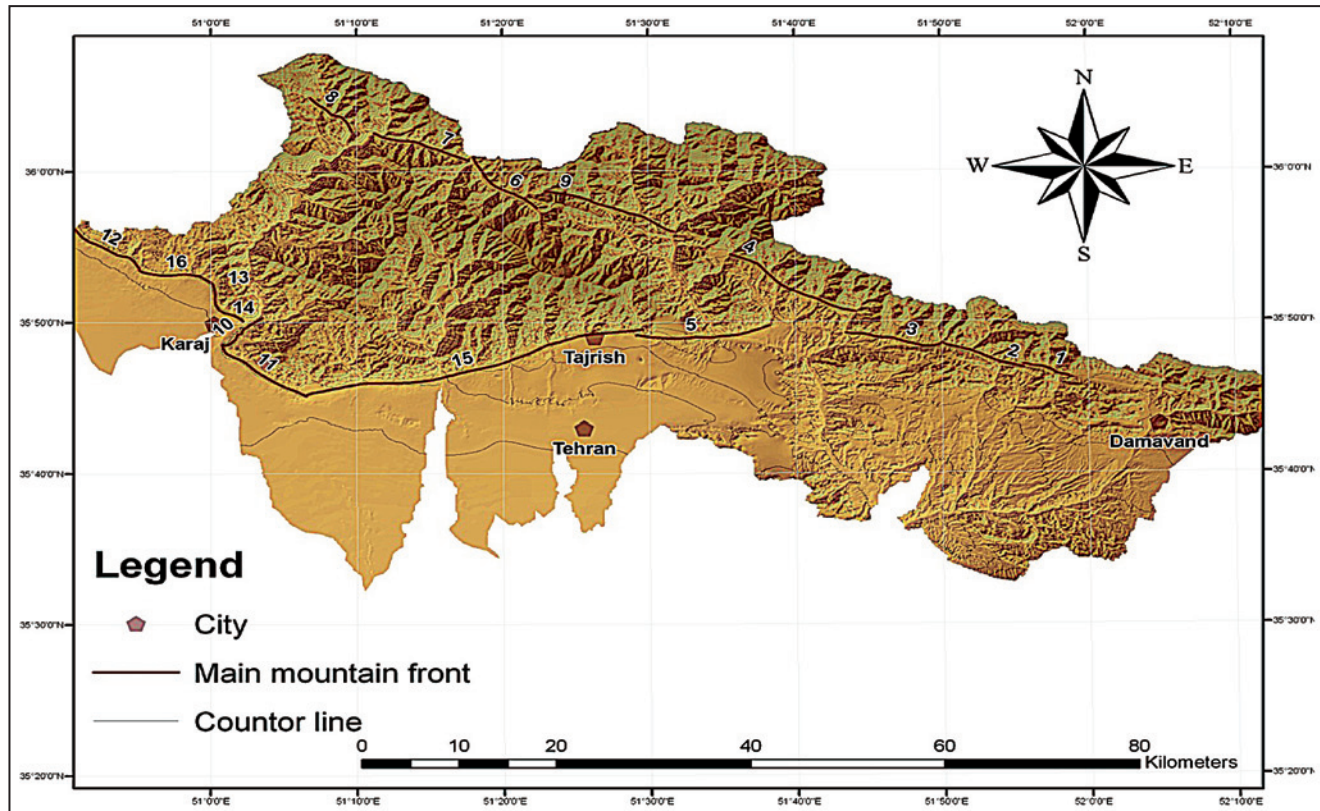
شکل ۵- نقشه مقاومت سنگ ناجیه در مورد مطالعه.



شکل ۶- پراکندگی رده های شاخص انتگرال فرازنده (HI) در ناحیه.



شکل ۸- نقشه مقاطع شاخص نسبت عرض کف دره به ارتفاع آن (Vf) و نمودار از آن در ناحیه.



شکل ۹-۱۶ پیشانی کوهستانی اصلی برای محاسبه شاخص پیچ و خم پیشانی کوهستان (Smf)

جدول ۱- ردیابی رده‌های شاخص‌های زمین‌ریختی توسط .EL Hamdouni et al. (2008)

پیچ و خم پیشانی کوهستانی (Smf)	نسبت عرض کف دره به ارتفاع آن (Vf)	شکل حوضه زهکشی (Bs)	عدم تقارن حوضه زهکشی (Af)	طول شب-آبراهه (SL)	ردی
۱/۱>	۰/۵>	۴<	Af-۵۰  > ۱۵	میزان ناهنجاری بالا	۱
۱/۱-۱/۵	۰/۵-۱	۳-۴	Af-۵۰  = ۷-۱۵	میزان ناهنجاری پایین	۲
۱/۵<	۱<	۳>	Af-۵۰  < ۷	بدون ناهنجاری	۳

جدول ۲- رده‌های شاخص‌های ریخت‌سنگی و رده‌های فعالیت زمین‌ساخت نسبی (Iat) محاسبه شده در ناحیه مورد مطالعه.

(a): مساحت کل حوضه، A: مساحت زیر حوضه،

نسبت(به درصد) (a/A)	(Area) Km مساحت	ردیف (Lat)	(S/n)	ردیف (Smf)	ردیف (Vf)	ردیف (Bs)	ردیف (Af)	ردیف (Hi)	ردیف (SL)	زیر حوضه	شماره زیر حوضه
۰/۸۱	۲۹۶/۸۲	۱ (High)	۱/۸	۲	۱	۳	۲	۲	۱	آسرا	۱
۰/۴۲	۵۱/۱۵۴	۲ (Moderate)	۲/۳	۲	۱	۳	۳	۲	۳	شهرستانک	۲
۰/۵	۱۸۵/۶۷	۲ (Moderate)	۲/۲	-	۱	۳	۲	۳	۲	زایگان	۳
۰/۲۲	۸۲/۲۷	۲ (Moderate)	۲/۳	۲	۱	۳	۳	۳	۲	میگون	۴
۰/۴۳	۱۵۹/۹۴	۲ (Moderate)	۲/۱	۲	۲	۲	۲	۳	۲	پیلقان	۵
۰/۲۲	۸۳/۵۴	۲ (Moderate)	۲/۲	-	۲	۳	۲	۳	۱	آرانگه	۶
۰/۲۷	۶۸/۸	۲ (Moderate)	۲	۲	۱	۳	۱	۲	۳	زارگاه	۷
۰/۲۴	۹۰/۴۱	۱ (High)	۱/۵	۲	۲	۲	۱	۱	۱	امامه	۸
۰/۶۶	۲۴۳/۳۳	۲ (Moderate)	۲	۱	۲	۲	۳	۲	۲	سولقان	۹
۰/۶۸	۲۵۱/۸	۲ (Moderate)	۲/۱	۲	۲	۳	۱	۲	۳	کمال شهر	۱۰
۰/۱۹	۷۲/۸۳	۱ (High)	۱/۸	۲	۲	۳	۱	۱	۲	افجه	۱۱
۰/۲۸	۱۰۴/۸۶	۲ (Moderate)	۲/۱	۲	۲	۳	۱	۲	۳	لوسان	۱۲
۰/۱۷	۶۵/۰۵	۲ (Moderate)	۲	۲	۲	۳	۲	۱	۲	برگ جهان	۱۳
۳/۰	۱۱۳/۰۱	۲ (Moderate)	۲/۳	۱	۲	۳	۳	۲	۳	سیارود	۱۴
۰/۵۴	۱۹۷/۳۳	۳ (Low)	۲/۶	-	۲	۳	۲	۳	۳	چاچرود	۱۵
۵۱/۰	۱۸۷/۴۸	۱ (High)	۱/۸	۱	۲	۳	۲	۱	۲	ورزیج	۱۶
۰/۲۳	۸۵/۰	۲ (Moderate)	۲/۲	-	-	۲	۳	۲	۲	پیلقان دره	۱۷
۱/۰۷	۳۹۰/۹۹	۲ (Moderate)	۲	-	۲	۲	۳	۱	۲	دماؤند	۱۸
۰/۲۶	۹۵/۷۷	۲ (Moderate)	۲	۱	۲	۳	۳	۱	۲	دربند	۱۹
۰/۵	۱۸۴/۵۶	۲ (Moderate)	۲/۵	۲	۳	۳	۱	۳	۳	سرخه حصار	۲۰
۰/۱۷	۶۲/۹۵	۱ (High)	۱/۵	۱	۲	۱	۲	۲	۱	سربند	۲۱
۰/۱	۷۳/۷۵	۲ (Moderate)	۲	-	۲	۱	۲	۲	۳	عباس آباد	۲۲
۰/۲۱	۷۸/۹۷	۲ (Moderate)	۲/۶	-	۲	۳	۲	۳	۳	بومهن	۲۳
۰/۲۷	۶۸/۶۶	۱ (High)	۱/۵	۱	۲	۱	۲	۱	۲	درکه	۲۴
۰/۱۸	۶۸/۴۱	۱ (High)	۱/۵	۱	۲	۱	۲	۱	۲	فرحزاد	۲۵
۰/۱۲	۴۷/۲۸	۱ (High)	۱/۶	۱	۲	۲	۱	۱	۳	باغ اتاری	۲۶
۰/۱۸	۶۵/۹۳	۱ (High)	۱/۶	۱	۲	۱	۳	۱	۲	حصارک	۲۷
۰/۳۲	۱۱۸/۸۵	۲ (Moderate)	۲	-	-	۱	۱	۳	۳	سعید آباد	۲۸
۰/۳	۱۱۰/۶	۱ (High)	۱/۶	۲	۲	۱	۲	۱	۲	کلاک	۲۹
۰/۰۹	۳۵/۹	۲ (Moderate)	۲	-	-	۱	۱	۳	۳	ناصر آباد	۳۰
۲۲/۰	۸۱/۸۷	۱ (High)	۱/۸	۱	۲	۲	۳	۱	۲	آبعلی	۳۱
۰/۰۶	۲۳/۹	۳ (Low)	۲/۵	-	-	۲	۳	۲	۳	شور آب	۳۲
۰/۱۴	۵۴/۳۷	۳ (Low)	۳	-	-	۳	۳	۳	۳	سولک	۳۳

جدول ۳ - وضعیت سازو کار میان و نزد خواهای ادبیات پاپ، وجود شناخته های ریخت زنین ماتختی، و میان فنایلز زنین ساخت نسخه پوشخ از گستاخی اصلی، تابهه مورد مطالعه.

ردیف	نام ایندیکاتور	تعریف ایندیکاتور	مقدارهای ممکن	جهت	امیدگسل	سازوکار جنبشی گسل	سازوکار جنبشی گسل	جهت	امیدگسل	مشاهده شده
۱	ردیف ۱-۱-۱-۱-۱-۱-۱-۱-۱-۱-۱	جنبشی های سطحی اخیر وجود گیپینگنگی های سطحی با Horst - Graben ساخته های هولوس را متاثر کرده است	۰-۰-۰-۰-۰-۰-۰-۰-۰-۰-۰	نرخ نزدیکی سطحی اخیر	نرخ نزدیکی سطحی اخیر	۰-۰-۰-۰-۰-۰-۰-۰-۰-۰-۰	نرخ نزدیکی سطحی اخیر	نرخ نزدیکی سطحی اخیر	۰-۰-۰-۰-۰-۰-۰-۰-۰-۰-۰	جنبشی های سطحی اخیر
۲	ردیف ۱-۱-۱-۱-۱-۱-۱-۱-۱-۱-۱	جنبشی های سطحی اخیر وجود گیپینگنگی های سطحی با Horst - Graben ساخته های هولوس را متاثر کرده است	۰-۰-۰-۰-۰-۰-۰-۰-۰-۰-۰	نرخ نزدیکی سطحی اخیر	نرخ نزدیکی سطحی اخیر	۰-۰-۰-۰-۰-۰-۰-۰-۰-۰-۰	نرخ نزدیکی سطحی اخیر	نرخ نزدیکی سطحی اخیر	۰-۰-۰-۰-۰-۰-۰-۰-۰-۰-۰	جنبشی های سطحی اخیر
۳	ردیف ۱-۱-۱-۱-۱-۱-۱-۱-۱-۱-۱	جنبشی های سطحی اخیر وجود گیپینگنگی های سطحی اخیر	۰-۰-۰-۰-۰-۰-۰-۰-۰-۰-۰	نرخ نزدیکی سطحی اخیر	نرخ نزدیکی سطحی اخیر	۰-۰-۰-۰-۰-۰-۰-۰-۰-۰-۰	نرخ نزدیکی سطحی اخیر	نرخ نزدیکی سطحی اخیر	۰-۰-۰-۰-۰-۰-۰-۰-۰-۰-۰	جنبشی های سطحی اخیر
۴	ردیف ۱-۱-۱-۱-۱-۱-۱-۱-۱-۱-۱	جنبشی های سطحی اخیر وجود گیپینگنگی های سطحی اخیر	۰-۰-۰-۰-۰-۰-۰-۰-۰-۰-۰	نرخ نزدیکی سطحی اخیر	نرخ نزدیکی سطحی اخیر	۰-۰-۰-۰-۰-۰-۰-۰-۰-۰-۰	نرخ نزدیکی سطحی اخیر	نرخ نزدیکی سطحی اخیر	۰-۰-۰-۰-۰-۰-۰-۰-۰-۰-۰	جنبشی های سطحی اخیر
۵	ردیف ۱-۱-۱-۱-۱-۱-۱-۱-۱-۱-۱	جنبشی های سطحی اخیر وجود گیپینگنگی های سطحی اخیر	۰-۰-۰-۰-۰-۰-۰-۰-۰-۰-۰	نرخ نزدیکی سطحی اخیر	نرخ نزدیکی سطحی اخیر	۰-۰-۰-۰-۰-۰-۰-۰-۰-۰-۰	نرخ نزدیکی سطحی اخیر	نرخ نزدیکی سطحی اخیر	۰-۰-۰-۰-۰-۰-۰-۰-۰-۰-۰	جنبشی های سطحی اخیر

## کتابنگاری

حقی پور، ع. و حدتی داشمند، ف.، ۱۳۶۵- نقشه ۱:۲۵۰۰۰ زمین‌شناسی تهران، سازمان زمین‌شناسی کشور.  
 سلیمانی، ف.، فقهی، خ.، شبانیان، ا.، عباسی، م. و ریتس، ژ.، ۱۳۸۱- بررسی‌های دیرینه‌لرزه‌شناسی مقدماتی روی گشل مشا در دره مشا، پژوهشگاه بین‌المللی زلزله‌شناسی و مهندسی زلزله، ۹۶ ص.  
 معماریان، ح.، ۱۳۸۰- زمین‌شناسی برای مهندسین، انتشارات دانشگاه تهران، صفحه ۴۹ تا ۱۲۶.

## References

- Abbassi, M. & Farbod, Y., 2009- faulting and folding in quaternary deposits of Tehran- piedmont (Iran). *Journal of Asian earth sciences* 34, 522-531.
- Alavi, M., 1991- sedimentary and structural characteristics of the paleo-Tethys remnants in northeastern Iran. *geological society of America Bulletin* 103, 983-992.
- Allen, M. B., Ghassemi, M. R., Shahrabi, M. & Ghorashi, M., 2003- Accommodation of late Cenozoic oblique shortening in the Alborz range, Northern Iran. *journal of structural geology* 25(5), 659-672.
- Ashtari, M., Hatzfeld, D. & Kamalian, M., 2005- microseismocity in the region of Tehran. *Tectonophysics* 395, 193-208.
- Azor, A., Keller, E. A. & Yeats, R. S., 2002- Geomorphic indicators of active fold growth: South Mountain-Oak Ridge Ventura basin, Southern California. *Geological Society of America Bulletin* 114, 745-753.
- Berberian, M. & Yeats, R. S., 2001- Contribution of archeological data to studies of earthquake history in the Iranian plateau. *journal of structural geology* 23, 563-584.
- Berberian, M., 1983- The southern Caspian: a compressional depression floored by a trapped, modified oceanic crust. *Canadian journal of Earth Science* 20, 163-183.
- Bruent, M., Korotaev, M., Ershov, A. & Nikishin, A., 2003- the south Caspian basin: a review of its evolution from subsidence modelling. *sedimentary geology* 156, 119-148.
- Bull, W. B. & McFadden, L. D., 1977- Tectonic geomorphology north and south of the Garlock fault, California. In: Doehring, D.O. (Ed.), *Geomorphology in Arid Regions*. Proceedings of the Eighth Annual Geomorphology Symposium. State University of New York, Binghamton, pp. 115-138.
- Bull, W. B., 2007- Tectonic Geomorphology of Mountains: A New Approach to Paleoseismology, California. Blackwell, Malden, pp. 316.
- Burbank, D. & Anderson, R., 2001- Tectonic Geomorphology. Blackwell Science, Oxford, pp. 274.
- Cannon, P. J., 1976- Generation of explicit parameters for a quantitative geomorphic study of Mill Creek drainage basin. *Oklahoma Geology Notes*, 36(1), 3-16.
- El Hamdouni, R., Irigaray, C., Fernandez, T., Chacón, J. & Keller, E. A., 2008- Assessment of relative active tectonics, southwest border of Sierra Nevada (southern Spain). *Geomorphology*, 96, 150-173.
- Geological Survey of Iran, 1977-Aeromagnetic map of Tehran, Geological Survey of Iran, Tehran, scale 1:250000.
- Guest, B., Axen, G. J., Lam, P. S. & Hassanzadeh, J., 2006a- Late Cenozoic shorting in the west-central Alborz mountains, northern Iran, by combined conjugate strike-slip and thin-skinned deformation. *Geosphere* 2(1), 35-52.
- Guest, B., Horton, B., Axen, G., Hassanzadeh, J. & McIntosh, W., 2007- Middle to late Cenozoic basin evolution in the western Alborz Mountains: Implications for the onset of collisional deformation in northern Iran. *Tectonics* 26, 1-26.
- Guest, B., Stockli, D., Grove, M., Axen, G., Lam, P. & Hassanzadeh, J., 2006b-Thermal histories from the central Alborz Mountains, northern Iran: implications for the spatial and temporal distribution of deformation in northern Iran. *Geological Society of America Bulletin* 118 (11-12), 1507-1521.
- Hack, J. T., 1957- Studies of longitudinal stream-profiles in Virginia and Maryland: U.S. Geological Survey Professional Paper 294B, 45-97.
- Hack, J. T., 1973- Stream-profiles analysis and stream-gradient index. *Journal of Research of the U.S. Geological Survey* 1 (4), pp. 421-429.
- Hack, J. T., 1982- Physiographic division and differential uplift in the piedmont and Blue Ridge. U.S. Geological Survey Professional Paper 1265, 1-49.
- Hare, P. W. & Gardner, T. W., 1985- Geomorphic indicators of vertical neotectonism along converging plate margins, Nicoya Peninsula, Costa Rica. In: Morisawa, M., Hack, J.T. (Eds.), *Tectonic Geomorphology*. Proceedings of the 15th Annual Binghamton Geomorphology Symposium. Allen and Unwin, Boston, 123-134.
- Jackson, J. A., Priestley, K., Allen, M. & Berberian, M., 2002- Active tectonics of the south Caspian basin, *Geophysical journal International* 148, 214-242.
- Keller, E. A. & Pinter, N., 1996- Active Tectonics: Earthquakes, Uplift, and Landscape. Prentice Hall, New Jersey, pp. 338.
- Keller, E. A. & Pinter, N., 2002- Active Tectonics: Earthquakes, Uplift, and Landscape. Second Edition. Prentice Hall, New Jersey, pp. 362.
- Keller, E. A., 1986- Investigation of active tectonics: use of surficial Earth processes. In: Wallace, R.E. (Ed.), *Active Tectonics, Studies in Geophysics*. National Academy Press, Washington DC, 136-147.

- Khavari, R., Ghorashi, M., Arian, M. & Khosrotehrani, K. H., 2010- Geomorphic signatures of active tectonics in the Karaj Drainage basin in South Central Alborz, N Iran, *Geosciences* 19, 67-74.
- Mayer, L., 1990- Introduction to Quantitative Geomorphology. Prentice Hall, Englewood, Cliffs, NJ, pp. 380.
- Molin, P., Pazzaglia, F. J. & Dramis, F., 2004- Geomorphic expression of active tectonics in a rapidly-deforming forearc, Sila massif, Calabria, southern Italy. *American Journal of Science* 304, 559–589.
- Nazari, H. & Ritz, J. F., 2008- Neotectonic in central Alborz. *Geosciences* 17, 75-92.
- Nazari, H., Ritz, J. F., Balescu, S., Lamothe, M., Salamat, R., Talebian, M., Ghorashi, M. & Saidi, A., 2008- Paleoseismological Analysis of the North Tehran Fault, Iran, *Analysing Prehistoric Ruptures for the Past 30.000 ka*, 33IGC, Oslo.
- Nazari, H., Ritz, J., Ghassemi, A., Bahar-Firouzi, K., Salamat, R., Shafei, A. & Fonoudi, M., 2011- Paleoearthquakes Determination of Magnitude ~6.5 on the North Tehran Fault, Iran. *JSEE* 13, 17-24.
- Nazari, H., Ritz, J., Salamat, R., Shafei, A., Ghassemi, A., Michelot, J., Massault, M. & Ghorashi, M., 2009- Morphological and paleoseismological analysis along the Taleghan fault (Central Alborz, Iran). *Geophysical Journal International* 178, 1028-1041.
- Nazari, H., Ritz, J., Salamat, R., Solaymani, S., Balescu, S., Michelot, J., Ghassemi, A., Talebian, M., Lamothe, M. & Massault, M., 2007- Paleoseismological analysis in Central Alborz. 50<sup>th</sup> anniversary earthquake conference commemorating the 1957 Gobi-Altay earthquake, Mongolia.
- Pike, R. J. & Wilson, S. E., 1971- Elevation-relief ratio, hypsometric integral and geomorphic area-altitude analysis. *Geological Society of America Bulletin* 82, 1079–1084.
- Ramírez-Herrera, M. T., 1998- Geomorphic assessment of active tectonics in the Acambay Graben, Mexican volcanic belt. *Earth Surface Processes and Landforms* 23, 317–332.
- Ritz, J. F., Balescu, S., Sleymani, S., Abbassi, M., Nazari, H., Feghhi, K., Shabanian, E., Tabassi, H., Farbod, Y., Lamothe, M., Michelot, J. L., Massault, M., Che'ry, J. & Vernant, P., 2003- Geometry, kinematics and slip rate along the Mosha active fault, central Alborz: Nice, France, EGU-AGU-EUG Joint Assembly, Abstract EAE03-A-06057.
- Ritz, J. F., Nazari, H., Ghassemi, A., Salamat, R., Shafei, A., Solaymani, S. & Vernant, P., 2006- Active transtention inside central Alborz: a new insight in to northern Iran-southern Caspian geodynamics. *Geology* 34, 477-480.
- Ritz, J., Nazari, H., Balescu, S., Lamothe, M., Salamat, R., Ghassemi, A., Shafei, A., Ghorashi, M. & Saidi, A., 2012- Paleoearthquakes of the past 30,000 years along the North Tehran Fault (Iran). *Journal of Geophysical Reserch* 117, 15 pp.
- Rockwell, T. K., Keller, E. A. & Johnson, D. L., 1985- Tectonic geomorphology of alluvial fans and mountain fronts near Ventura, California. In: Morisawa, M. (Ed.), *Tectonic Geomorphology*. Proceedings of the 15th Annual Geomorphology Symposium. Allen and Unwin Publishers, Boston, pp. 183–207.
- Silva, P. G., 1994- Evolución geodinámica de la depresión del Guadalentín desde el Mioceno superior hasta la Actualidad: Neotectónica y geomorfología. Ph.D. Dissertation, Complutense University, Madrid, pp. 642.
- Silva, P. G., Goy, J. L., Zazo, C. & Bardajm, T., 2003- Fault generated mountain fronts in Southeast Spain: geomorphologic assessment of tectonic and earthquake activity. *Gemorphology* 250, 203–226.
- Solaymani, S. H., Ritz, J. F. & Abbassi, M. R., 2011- Left lateral active deformation along Mosha- North Tehran fault system (Iran); Morphotectonics and paleosiesmological investigations. *Tectonophysics* 497, 1-14.
- Strahler, A. N., 1952- Hypsometric (area-altitude) analysis of erosional topography. *Geological Society of America Bulletin* 63, 1117–1142.
- Tatar, M., Hatzfeld, D., Abbassi, A. & Fard Yamini, F., 2012- Microseismicity and seismotectonics around the Mosha fault (Central Alborz, Iran). *Tectonophysics* 544, p. 50-59.
- Vernant, P., Nilforoushan, F., Chery, J., Bayer, R., Djamour, Y., Masson, F., Nankali, H., Ritz, J., Sedighi, M. & Tavakoli, F., 2004- Deciphering oblique shorting of Cerntal Alborz in Iran using geodetic data. *Earth and planetary science letters* 223, 177-185.
- Wells, S. G., Bullard, T. F., Menges, T. M., Drake, P. G., Karas, P. A., Kelson, K. I., Ritter, J. B. & Wesling, J. R., 1988-Regional variations in tectonic geomorphology along segmented convergent plate boundary, Pacific coast of Costa Rica. *Geomorphology* 1, 239–265.

# Neotectonic Analysis of Mosha-North Tehran Fault Zone, Based on Morphotectonic Features, Central Alborz, Northern Iran

N. Bagha<sup>1\*</sup>, M. Ghorashi<sup>2</sup>, M. Arian<sup>3</sup>, M. Pourkermani<sup>4</sup> & A. Solgi<sup>5</sup>

<sup>1</sup> Ph.D., Department of Geology, Islamic Azad University, Science and Research Branch, Tehran, Iran

<sup>2</sup>Associate Professor, Department of Geology, Islamic Azad University, Tehran North Branch, Tehran, Iran

<sup>3</sup>Associate Professor, Department of Geology, Islamic Azad University, Science and Research Branch, Tehran, Iran

<sup>4</sup>Professor, Department of Geology, Islamic Azad University, Tehran North Branch, Tehran, Iran

<sup>5</sup>Assistant Professor, Department of Geology, Islamic Azad University, Science and Research Branch, Tehran, Iran

Received: 2012 June 10

Accepted: 2012 October 21

## Abstract

Structural development, caused by active tectonics leads to deformation of morphology features. The Mosha-North Tehran fault zone, located in south edge of the Central Alborz consists of significant tectonic structures. Hence, study on morphotectonic signs is a proper method for evaluation of relative tectonic activities in the area. In this research, six main morphometric indices such as stream length-gradient (SL), drainage basin asymmetry (Af), hypsometric integral (Hi), ratio of valley-floor width to valley height(Vf), drainage basin shape (Bs), and mountain front sinuosity(Smf)were considered. The computations and probes of these indices indicate three classes of relative tectonic activity in the study area from low to high level. Consequently, the drainage basins with high class of tectonic activity mostly coincide with the main faults in south edge of the Central Alborz.

**Keywords:** Relative Activity, Morphometric Indices, Morphotectonic, Drainage Basin, Uplift, Mosha Fault

For Persian Version see pages 41 to 52

\*Corresponding author: N. Bagha; E-mail: n\_bagha@yahoo.com